

# ANÁLISIS DE LA IRRADIANCIA SOLAR EFECTIVA PARA LA SÍNTESIS DE PRE-VITAMINA D<sub>3</sub> EN LA PIEL, EN LA CIUDAD DE ROSARIO, ARGENTINA

## ANALYSIS OF THE EFFECTIVE SOLAR IRRADIANCE FOR THE SYNTHESIS OF PRE-VITAMIN D<sub>3</sub> ON THE SKIN, IN ROSARIO, ARGENTINA

Adriana Ipiña<sup>\*1</sup>, Gamaliel López-Padilla<sup>2</sup>, Ana Fisanotti<sup>3</sup>, Montserrat Dávalos<sup>4</sup>, and Rubén D. Piacentini<sup>1</sup>

<sup>1</sup>Instituto de Física Rosario – Universidad Nacional Rosario – Consejo Nacional de Investigaciones Científicas y Técnicas, 27 de Febrero 210BIS – (S2000EKF) Rosario – Argentina.

<sup>2</sup>Facultad de Ciencias Físico Matemáticas – Universidad Autónoma de Nuevo León, Pedro de Alba S/N - Ciudad Universitaria San Nicolás de los Garza (66451) – México.

<sup>3</sup>Facultad de Ciencias Médicas - Universidad Nacional Rosario - Santa Fe 3100 (S2002KKT) Rosario - Argentina

<sup>4</sup>Investigadora Independiente, Monterrey (64810) - México

Recibido: xx/xx/xx; Aceptado: xx/xx/xx

En los últimos años, el interés por el estudio de la vitamina D ha aumentado debido al incremento en la incidencia de personas que presentan niveles deficientes de esta vitamina. Pocos alimentos contienen vitamina D<sub>3</sub> de manera natural, siendo la principal fuente de obtención la radiación solar ultravioleta (UV), la cual desencadena el mecanismo de la síntesis de la vitamina D en la parte superficial de la piel. En este estudio se determinó la irradiancia solar UV efectiva para la síntesis de pre-vitamina D<sub>3</sub> en la ciudad de Rosario, Argentina, utilizando tres métodos: a) Coeficiente de proporcionalidad, b) Ecuación de Herman y c) Modelo TUV. Los valores se compararon para condiciones de cielo despejado al mediodía solar. El cálculo de los tiempos de exposición solar (TES) se optimizó mediante un código python con el fin de obtener las dosis mínimas de radiación UV solar para sintetizar pre-vitamina D<sub>3</sub> mínima y suficiente como para producir enrojecimiento de la piel (debido a la dilatación de los vasos sanguíneos superficiales) denominado eritema, diariamente en el periodo junio 2019 - mayo 2020. Se discute la variación de los TES para alcanzar una dosis mínima para la síntesis de pre-vitamina D<sub>3</sub> y aparición de eritema con una fotoexposición del 25 % de la superficie corporal (la cara, el cuello y los brazos).

*Palabras Clave: radiación UV solar, vitamina D, dosis eritémica mínima, tiempos de exposición, Argentina.*

In the last years, interest in the study of vitamin D has raised due to the increase in the incidence of people with deficient levels of this vitamin. Few foods contain it naturally, being the main source of obtaining the ultraviolet solar radiation, which triggers the mechanism of the synthesis of vitamin D on the surface skin. In this study, the effective UV solar irradiance for the synthesis of pre-vitamin D<sub>3</sub> was determined in Rosario city, Argentina, using three methods: a) Coefficient of proportionality, b) Herman equation and c) TUV model. The values were compared in clear sky conditions at solar noon. The calculation of the solar exposure times (TES) was optimized by means of a python code in order to obtain the minimum doses for the synthesis of pre-vitamin D<sub>3</sub> and enough to produce redness of the skin (due to dilation of the superficial blood vessels) also known as erythema, daily in the period June 2019 - May 2020. It is discussed the variation of the TES reaching the minimum dose of pre-vitamin D<sub>3</sub> and erythema with a photoexposure of 25 % of the body (face, neck and arms).

*Keywords: UV solar radiation, vitamin D, minimal erythema dose, exposure times, Argentina.*

## I. INTRODUCCIÓN

La vitamina D participa en múltiples procesos en el cuerpo humano, en varios otros mamíferos, reptiles y anfibios, interviene en la regulación de la homeostasis del calcio y en el metabolismo óseo. La deficiencia

de esta vitamina es asociada al incremento de algunos cánceres, enfermedades como el Parkinson, Alzheimer, entre otras.<sup>1-3</sup> La síntesis de la vitamina D en la piel humana es producida por la radiación solar ultravioleta (UV), siendo esta la principal fuente de obtención, ya que pocos alimentos la contienen de

<sup>1</sup>ipina@ifir-conicet.gov.ar

manera natural.<sup>4</sup> La radiación solar UV que llega a la superficie terrestre varía esencialmente en función de la composición atmosférica (especialmente O<sub>3</sub> estratosférico y troposférico), la ubicación geográfica, la hora del día y los días del año. El rango UV es el más energético por fotón incidente (280-400 nm). Este rango espectral desencadena las reacciones fotoquímicas más importantes en la piel humana al interactuar con el 7-dehidrocolesterol (7-DHC) presente en las membranas plasmáticas de los queratinocitos de la epidermis y en los fibroblastos de la dermis.<sup>5-7</sup> Se producen dos tipos de vitamina D a partir de la interacción entre los fotones UV y la piel: la vitamina D<sub>2</sub> (ergocalciferol) sintetizada en los vegetales y la vitamina D<sub>3</sub> (colecalciferol) sintetizada en la piel humana.<sup>8</sup> Cuando el precursor 7-dehidrocolesterol presente en la piel, interactúa con la radiación UV se convierte en pre-vitamina D<sub>3</sub>. Esta última se libera de la membrana celular y se asocia a su proteína transportador en sanguíneo que es la  $\alpha$ 1-globulina y viajando por el torrente sanguíneo llega al hígado en donde es hidroxilada, produciendo 1,25-hidroxivitamina D<sub>3</sub>, la forma activa de la vitamina D.<sup>6</sup>

Por otro lado, la sobreexposición solar UV también puede producir efectos nocivos a largo plazo, que van desde el fotoenvejecimiento, fotodermatitis hasta cánceres de piel y cataratas.<sup>9,10</sup> Por esta razón es importante conocer los Tiempos de Exposición Solar (TES) para iniciar la síntesis de la vitamina D, sin provocar un daño a la piel (e.g. eritema). Para calcular los TES que producen cada efecto biológico específico, se utiliza la definición de la dosis efectiva:

$$Dosis = \int_{t_1}^{t_2} \int_{250nm}^{400nm} E_{\lambda} \cdot S_{\lambda} d\lambda dt = \int_{t_1}^{t_2} E_t dt \quad (1)$$

donde  $E_{\lambda}$  es la irradiancia solar espectral a nivel del suelo y  $S_{\lambda}$  es el espectro de acción, que puede ser para: la síntesis de la pre-vitamina D<sub>3</sub> o generación de eritema. La irradiancia efectiva  $E_t$ , representa la irradiancia de pre-vitamina D<sub>3</sub> ( $E_{vitD}$ ) o la irradiancia eritémica ( $E_{er}$ ) según sea el caso. La integral de estas irradiancias de un tiempo  $t_1$  a  $t_2$ , definen las Dosis en unidades de J/m<sup>2</sup>. La Dosis Eritémica Mínima (MED por sus siglas en inglés) tiene un valor de 250 J/m<sup>2</sup> en una piel de fototipo II de la clasificación de Fitzpatrick.<sup>11</sup> De manera análoga, la Dosis Mínima para generar los niveles adecuados de vitamina D<sub>3</sub> (MDD por sus siglas en inglés) es de 34 J/m<sup>2</sup> con una exposición de cuerpo completo y de 136 J/m<sup>2</sup> con una exposición del 25 % del cuerpo (brazos, cuello y cara).<sup>12,13</sup> Adicionalmente, la MDD se puede aproximar en términos de  $\frac{1}{4}$  MED (63 J/m<sup>2</sup>) para una piel de fototipo II.<sup>14</sup> En este trabajo se presenta la estimación de la  $E_{vitD}$ , mediante tres métodos: Coeficiente de proporcionalidad,<sup>12</sup> Ecuación de Herman<sup>15</sup> y Modelo TUV.<sup>16</sup> En particular, se utiliza el modelo TUV en la determinación de los TES ( $t_2-t_1$ ) para acumular 1MED,  $\frac{1}{4}$  MED y 1MDD en la ciudad de Rosario, Argentina.

## II. MATERIALES Y MÉTODOS

Los datos de la columna total de ozono (O<sub>3</sub>) provienen de la Colección 3, OMTD3 v8.5, en Unidades Dobson (DU), medidos por el Instrumento de Monitoreo de Ozono (OMI) para las coordenadas de la ciudad de Rosario, Argentina. A bordo del satélite AURA-NASA, OMI realiza observaciones diarias en una superficie de 13x24 Km<sup>2</sup> en el nadir, disponible en [disc.gsfc.nasa.gov](http://disc.gsfc.nasa.gov). Para las mediciones *in situ* de  $E_{\lambda}$  se utilizó un espectroradiómetro Optronic-OL756 con esfera integradora y para el índice UV, la estación meteorológica Davis. Ambos instrumentos se encuentran ubicados en el Instituto de Física Rosario (CONICET-UNR), en la ciudad de Rosario.

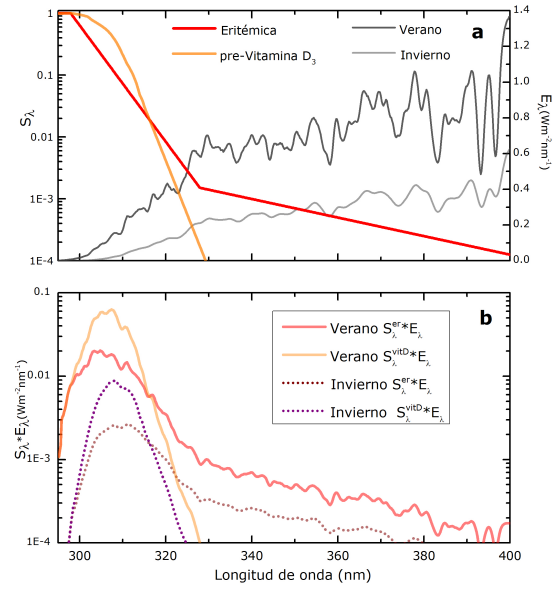


Figura 1: a) Espectros de acción de pre-vitamina D<sub>3</sub> y eritémica, e irradiancia espectral solar medida en cielo despejado, cerca de los solsticios de verano (28/Dic/2011) e invierno (23/Jun/2011), en la ciudad de Rosario. b) Irradiancia ponderada por cada espectro de acción y estación del año.

## III. Coeficiente de proporcionalidad

La Commission Internationale de l'Eclairage (CIE) y la World Meteorological Organization (WMO) han reportado la siguiente relación:

$$E_{vitD} = k \cdot E_{er} \quad (2)$$

donde  $k$  tiene dos valores distintos en verano e invierno para una ciudad del hemisferio sur.<sup>12</sup> En este trabajo, los valores de  $k$  fueron obtenidos calculando  $E_{er}$  y  $E_{vitD}$  por medio de la Ec. 1 y las mediciones de  $E_{\lambda}$  realizadas bajo cielo despejado en verano e invierno (Figura 1). Posteriormente, la sustitución de  $E_{er}$  y  $E_{vitD}$  en la Ec. 2 determina  $k=1.6$  en invierno y de  $k=2$  en verano. Finalmente los valores diarios de  $E_{vitD}$  para ambas épocas del año (21/Jun/2019 -

Tabla 1: Coeficientes<sup>15</sup> para obtener  $U(\theta)$ ;  $RAF(\theta) = \frac{a+c\theta^2+e\theta^4}{1+b\theta^2+d\theta^4+f\theta^6}$

	U	RAF
a	0.9659616883022778	1.349378286522954
b	0.0001089314449687077	-0.0002926808443875372
c	-0.0002681987275053843	-0.0003059282407232034
d	1.410783665933483E <sup>-8</sup>	2.879164470755759E <sup>-8</sup>
e	1.894213900598701E <sup>-8</sup>	1.920553492457117E <sup>-8</sup>
f	1.695104643516458E <sup>-12</sup>	-8.580442654658103E <sup>-13</sup>

22/Sep/2019 y 21/Dic/2019 - 20/Mar/2020) estimados a partir de la  $E_{er}$ . Esta irradiancia eritémica se deriva del índice UV medido al mediodía solar en cielo despejado por la estación Davis. El índice UV es internacionalmente reconocido en una escala de 0 a 20 (o más) y resulta de multiplicar  $E_{er}$  por 40 m<sup>2</sup>/W.

#### IV. Ecuación de Herman

Herman<sup>15</sup> estableció una ecuación general de  $E_{vitD}$  para cualquier punto geográfico:

$$E_{vitD} = U \left( \frac{O_3}{200} \right)^{-RAF} \quad (3)$$

donde el  $O_3$  es la columna total de ozono, RAF es el Factor de Amplificación de Radiación y U es una función de ajuste, estos dos últimos dependientes del ángulo cenital solar ( $\theta$ ). La  $E_{vitD}$  en esta ecuación depende de la columna total de  $O_3$  en el sitio en cuestión y de las funciones RAF y U, que a su vez dependen del ángulo cenital (relacionado a la hora del día). Los coeficientes de U y RAF se muestran en la Tabla 1, los cuales fueron obtenidos ejecutando el modelo TUV.

#### V. Modelo TUV

El modelo Tropospheric Ultraviolet Radiation (TUV)<sup>16</sup> emplea la ecuación de transferencia radiativa para obtener la  $E_\lambda$  a nivel del suelo, en los rangos ultravioleta, visible e infrarrojo cercano. El modelo incorpora el perfil de aerosoles cuya profundidad óptica (AOD) es de 0.34 a 340 nm (desde 5.24 km al espacio) y un perfil de  $O_3$  correspondiente a la atmósfera estándar de EE. UU. Entre los datos de entrada más relevantes se encuentran las coordenadas del lugar (latitud, longitud y altura sobre el nivel del mar), AOD a 550 nm, reflectividad del suelo, albedo de dispersión simple, coeficiente de Angstrom, fecha y hora del día. La columna total de  $O_3$  ingresada tiene un valor climatológico de acuerdo a la medición diaria del instrumento OMI. Cabe destacar que la medición satelital de la columna total de  $O_3$  podría estar subestimada en ciudades muy contaminadas (e.g. Santiago de Chile) y tener diferencias significativas con respecto a las mediciones terrestres.

Con el modelo TUV también se calcularon los valores de  $E_{vitD}$  y  $E_{er}$  para las coordenadas de la ciudad de Rosario (32.95°S, 60.62°W, 25 m snm). Las estimaciones se realizaron diariamente al mediodía solar local (entre las 12:00 - 13:00 h) en el periodo junio 2019 - mayo 2020.

#### VI. Cálculo de los TES

Los valores de  $E_{vitD}$  y  $E_{er}$  derivados del modelo TUV fueron utilizados como base para calcular los TES. La Ec. 1 fue resuelta sistemáticamente por un código en python comenzando a la hora de máxima intensidad solar ( $t_1$ ) y terminando ( $t_2$ ) al alcanzar: 1MED,  $\frac{1}{4}$ MED y 1MDD. Este proceso se repitió día a día, revelando el intervalo de tiempo ( $t_2 - t_1$ ) para generar las dosis a lo largo de todo el periodo.

#### VII. RESULTADOS

La irradiancia pre-vitamina D<sub>3</sub> calculada al mediodía solar empleando los tres métodos se muestra en la Fig. 2. Como puede observarse, existe una alta similitud entre los resultados obtenidos con la Ec. de Herman y el modelo TUV. La diferencia relativa promedio fue de 3.6 % en verano y de 0.4 % en invierno, respecto al TUV. Mientras que las diferencias relativas en razón del Coeficiente de proporcionalidad con el TUV y la Ec. de Herman fueron de: 8.5 % y 8.4 % en invierno, así como de 20.8 % y 17.1 % en verano, respectivamente.

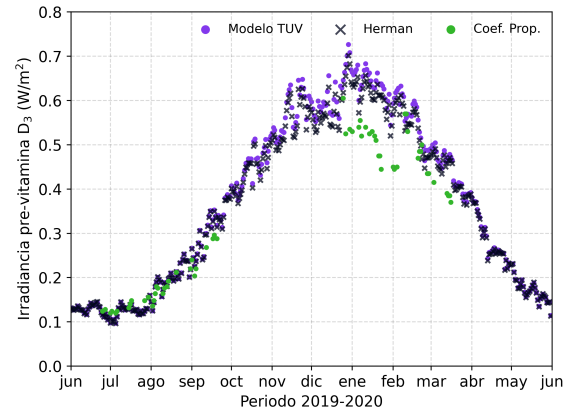


Figura 2:  $E_{vitD}$  para la ciudad de Rosario obtenida con el Coeficiente de proporcionalidad, Ec. de Herman y Modelo TUV.

Un estudio<sup>17</sup> sobre el porcentaje de conversión de 7-DHC a pre-vitamina D<sub>3</sub> en diferentes latitudes y épocas del año, reveló que a latitudes mayores 40°[S-N] en invierno, esta conversión es extremadamente ineficiente. La magnitud de este porcentaje es inversamente proporcional a la latitud en ciudades del continente americano. En el hemisferio norte, las ciudades

Tabla 2: TES para cada dosis ( $x$ : no alcanzada) y fototipos obtenidos por Cabrera 2005 y Diaz et al. 2011 (celdas grises). Análisis análogo en el presente trabajo (celdas blancas), utilizando una fecha de verano e invierno para acumular 1MED,  $\frac{1}{4}$ MED y 1MDD.

Ciudad	Diaz et al. 2011 fototipo II				Cabrera 2005 fototipo III		Presente fototipo II					
	1MED (250 J/m <sup>2</sup> )		1SDD <sub>SA</sub> (321 J/m <sup>2</sup> )		1MED (210 J/m <sup>2</sup> )		1MED (250 J/m <sup>2</sup> )		$\frac{1}{4}$ MED (63 J/m <sup>2</sup> )		1MDD (136 J/m <sup>2</sup> )	
	verano	invierno	verano	invierno	verano	invierno	verano	invierno	verano	invierno	verano	invierno
Santiago de Chile	21	119	12	73	10	56	16	52	4	14	4	14
Rosario	-	-	-	-	-	-	14	52	2	12	2	16
Punta Arenas	37	x	24	x	26	134	22	x	4	92	8	192

de Boston y Edmonton tuvieron su máximo porcentaje de conversión a pre-vitamina D<sub>3</sub> el mes de junio, mientras que en el hemisferio sur, Buenos Aires y Ushuaia lo alcanzaron en diciembre. Este antecedente es semejante a los resultados obtenidos con los tres métodos de derivación de la E<sub>vitD</sub> en Rosario, ya que el máximo valor ocurre en diciembre (Fig. 2).

Para una exposición a partir del mediodía solar, en el periodo junio 2019 - mayo 2020 se estimaron los TES hasta alcanzar las diferentes dosis (Fig. 3). En invierno los TES para alcanzar 1MDD, se encuentran en promedio a los 14±5 minutos, mientras que para acumular  $\frac{1}{4}$ MED a los 11±3 minutos y para la aparición de eritema (1MED) a los 47±15 minutos. En verano, en promedio se requieren 4±1 min para alcanzar la dosis mínima de pre-vitamina D<sub>3</sub>, 4±1 min para  $\frac{1}{4}$ MED y 15±2 min para la eritémica. Los TES para obtener 1MDD y  $\frac{1}{4}$ MED tuvieron valores semejantes, con una diferencia promedio de 1 min en ambas temporadas.

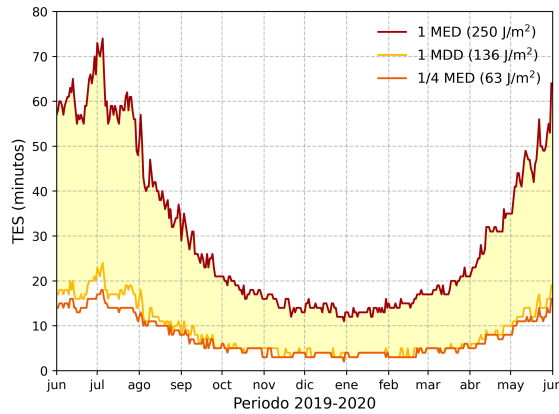


Figura 3: TES diarios para acumular  $\frac{1}{4}$ MED, 1MDD y 1MED en una persona de un fototipo de piel II comenzando la exposición a partir del mediodía solar.

## VIII. DISCUSIÓN Y CONCLUSIONES

El modelo TUV y la Ec. de Herman mostraron valores semejantes de E<sub>vitD</sub> debido a que ambos métodos consideran el O<sub>3</sub> y el  $\theta$  como principales elementos de influencia. Aunado a esta característica, las concentraciones de SO<sub>2</sub> y NO<sub>2</sub> en la ciudad de Rosario, no varían significativamente a lo largo del año. Sin embargo, los aerosoles atenúan la radiación solar UV de manera importante entre mayo y agosto,

cuando suelen tener lugar incendios en el Delta del río Paraná frente a Rosario.<sup>18</sup> Respecto a los valores derivados del Coeficiente de proporcionalidad, aunque su aplicación es práctica, la aproximación depende del factor  $k$  de cada época del año. En particular, en verano se subestima levemente la magnitud de la E<sub>vitD</sub> con respecto a los otros dos métodos.

Diaz et al. 2011 calculó los TES para una SDD<sub>SA</sub> (dosis ponderada por el espectro de vitamina D<sub>3</sub>) y 1MED para fototipo II, con una exposición del 9% del cuerpo (sólo la cabeza). En verano la síntesis de vitamina D<sub>3</sub> en Buenos Aires se alcanzó a los 13 minutos. A pesar de que esta ciudad se encuentra a 300 km de Rosario, los TES se extienden poco más del triple respecto al los TES promedio del presente estudio empleando el modelo TUV (4±1 min). Los TES en el primer caso son más largos principalmente por tres razones: 1) la presencia de contaminación atmosférica en una gran ciudad, 2) mediciones que no discriminan cielo despejado y 3) un área expuesta del cuerpo de menor tamaño.

Para extender el análisis a otras ciudades y latitudes, se incorporaron los valores de los TES obtenidos por dos estudios.<sup>19,20</sup> Estos TES se muestran en la Tabla 2 para diferentes fototipos y dosis. Los valores para las ciudades de Santiago de Chile y Punta Arenas, también fueron estimados con el modelo TUV para dos fechas particulares en verano e invierno. En Punta Arenas, los TES en los tres estudios muestran una ligera concordancia en verano sin embargo, en invierno la dosis no es alcanzada en las estimaciones de Diaz et al. 2011 ni con el modelo TUV. La Tabla 2 esquematiza las diferencias para fechas específicas en los tres casos.

Para alcanzar 1MED en Rosario se necesita en promedio TES de 15±2 min en verano, los cuales se encuentran en el rango esperado de acuerdo a la latitud. Por otro lado, los TES calculados para una MDD y  $\frac{1}{4}$ MED indicaron una diferencia promedio entre ambos de 0.5 minutos en verano y 3 minutos en invierno. Por lo tanto, es posible derivar los TES con relativa precisión, a partir de la estimación de un MED.

El modelo TUV, la Ec. de Herman y el Coeficiente de proporcionalidad estiman valores de E<sub>vitD</sub> para cielo despejado, en consecuencia los TES respectivos podrían ser considerados como un límite inferior para la exposición al sol. Mientras que los TES para acumular 1MED pueden ser tomados como límite superior a lo largo del año. Este estudio podría extenderse

en un futuro para analizar la contribución de las nubes y los aerosoles troposféricos,<sup>21</sup> así como la mezcla en altura con la capa límite atmosférica.

## IX. REFERENCIAS

1. Zittermann A, Iodice S, Pilz S, Grant WB, Bagnardi V, Gandini S. Vitamin D deficiency and mortality risk in the general population: a meta-analysis of prospective cohort studies. *The American Journal of Clinical Nutrition*. 2011; 95(1):91–100.
2. Afzal S, Bojesen SE, Nordestgaard BG. Reduced 25-hydroxyvitamin D and risk of Alzheimer's disease and vascular dementia. *Alzheimer's & Dementia*. 2013;10(3):296–302.
3. Kravietz A, Kab S, Wald L, Dugravot A, Singh-Manoux A, Moisan F, Elbaz A. Association of UV radiation with Parkinson disease incidence: A nationwide French ecologic study. *Environmental Research*. 2017;154:50 – 56.
4. Biesalski HK, Köhrle J, Schümann K, eds. *Vitamine, Spurenelemente und Mineralstoffe*. Georg Thieme Verlag. 2002.
5. WHO. Global Solar UV Index: A Practical Guide. *Tech. rep.* 2002.
6. Brunser, O. Radiación ultravioleta y vitamina D. chap. 11 Radiación ultravioleta y Salud, p. 295 pp. Ed. Universitaria Ed. Cabrera, S. Lissi, E. y Honeyman, J. 2005;.
7. Olds WJ, McKinley AR, Moore MR, Kimlin MG. In vitro model of vitamin D3 (Cholecalciferol) synthesis by UV radiation: Dose–response relationships. *Journal of Photochemistry and Photobiology B: Biology*. 2008;93(2):88–93.
8. Zhang R, Naughton DP. Vitamin D in health and disease: Current perspectives. *Nutrition Journal*. 2010;9(1).
9. Gilaberte Y, Aguilera J, Carrascosa J, Figueroa F, de Gabriel JR, Nagore E. La vitamina D: evidencias y controversias. *Actas Dermo-Sifiliográficas*. 2011;102(8):572–588.
10. Modenese A, Bisegna F, Borra M, Grandi C, Gugliemetti F, Militello A, Gobba F. Outdoor work and solar radiation exposure: Evaluation method for epidemiological studies. *Medycyna Pracy*. 2016;67(5):577–587.
11. Fitzpatrick TB. The validity and practicality of sun-reactive skin types I through VI. *Archives of Dermatology*. 1988;124(6):869–871.
12. CIE 209:2014. *Nomenclature for UV Doses and Effects on Humans*. 2014.
13. Fioletov V, McArthur L, Mathews T, Marrett L. Estimated ultraviolet exposure levels for a sufficient vitamin D status in North America. *Journal of Photochemistry and Photobiology B: Biology*. 2010;100(2):57–66.
14. Dowdy JC, Sayre RM, Holick MF. Holick's rule and vitamin D from sunlight. *The Journal of Steroid Biochemistry and Molecular Biology*. 2010; 121(1-2):328–330.
15. Herman JR. Use of an improved radiation amplification factor to estimate the effect of total ozone changes on action spectrum weighted irradiances and an instrument response function. *Journal of Geophysical Research*. 2010;115(D23).
16. Madronich S. Intercomparison of NO2 photodissociation and U.V. Radiometer Measurements. *Atmospheric Environment (1967)*. 1987; 21(3):569–578.
17. Lu Z, Chen T, Holick M. *Influence of Season and Time of Day on the Synthesis of Vitamin D3*, pp. 53–56. De Gruyter. 2019;.
18. Ipiña A, Salum G, Crinó E, Piacentini R. Satellite and ground detection of very dense smoke clouds produced on the islands of the Paraná river delta that affected a large region in Central Argentina. *Advances in Space Research*. 2012; 49(5):966 – 977.
19. Diaz S, Vernet M, Paladini A, Fuenzalida H, De-ferrari G, Booth CR, Cabrera S, Casiccia C, Die-guez M, Lovengreen C, Pedroni J, Rosales A, Vrsalovic J. Availability of vitamin D photocon-version weighted UV radiation in southern South America. *Photochemical & Photobiological Sciences*. 2011;10(12):1854.
20. Cabrera, S. Radiación ultravioleta y vitamina D. chap. 7 Radiación ultravioleta y Salud, p. 88 pp. Ed. Universitaria Ed. Cabrera, S. Lissi, E. y Honeyman, J. 2005;.
21. Kim J, Lee YG, Koo JH, Lee H. Relative Contributions of Clouds and Aerosols to Surface Eryt-hemal UV and Global Horizontal Irradiance in Korea. *Energies*. 2020;13(6):1504.